

УДК 537.635 : 539.288 : 546.681

**ОСОБЕННОСТИ ФАЗОВОГО ПЕРЕХОДА
И МОЛЕКУЛЯРНОГО ДВИЖЕНИЯ СТРУКТУРНЫХ ЭЛЕМЕНТОВ
В КРИСТАЛЛОГИДРАТЕ ХРОМОКАЛИЕВЫХ КВАСЦОВ
ПО ДАННЫМ ЭЛЕКТРОННОЙ РЕЛАКСАЦИИ И ИК СПЕКТРОСКОПИИ**

Г. П. Вишневская, А. Р. Фахрутдинов

Из температурной зависимости времен электронной спин-решеточной релаксации T_1 для Cr^{3+} зафиксирована температура фазового перехода T_c в кристаллогидрате хромокалиевых квасцов, установлено наличие быстрого флуктуационного процесса при $T > T_c$, определены времена корреляции, энергия активации и обсуждены возможные причины данного процесса. Методом ИК спектроскопии установлены изменения в колебаниях сульфатных групп и молекул воды, появляющиеся в результате фазового перехода.

Для исследования фазовых переходов и динамики молекулярного движения структурных элементов в кристаллах наряду с методами ЭПР и ЯМР успешно могут применяться методы электронной релаксации. Однако во многих случаях эти исследования затруднены из-за коротких значений времен электронной спин-решеточной релаксации T_1 парамагнитных ионов в кристалле. Поэтому в кристаллах обычно вводятся различные парамагнитные метки, например возникающие вследствие его облучения радикалы [1], времена релаксации которых являются достаточно длинными, чтобы быть измеренными методом электронного спинового эха. Однако введение парамагнитных проб может исказить первоначальную структуру кристалла и поэтому в какой-то мере делает такие исследования менее цennыми.

Мы использовали возможности метода нерезонансного поглощения, позволяющего проводить прямые измерения достаточно коротких времен электронной релаксации, для определения T_1 Cr^{3+} в поликристаллических хромокалиевых квасцах. Измерения проводились на релаксометре, разработанном и сконструированном в Казанском физико-техническом институте [2]. Технические характеристики релаксометра позволяют измерять T_1 от $5 \cdot 10^{-6}$ до $5 \cdot 10^{-10}$ с в области температур от 120 до 370 К.

Хромокалиевые квасцы $\text{KCr}(\text{SO}_4)_2 \cdot 12\text{H}_2\text{O}$ подобно всем другим квасцам при температурах выше температуры фазового перехода образуют кристаллы с пространственной группой Рa3 [3]. Они включают в себя октаэдры $\text{M}^{3+}(\text{H}_2\text{O})_6$ и $\text{M}^+(\text{H}_2\text{O})_6$, связанные друг с другом водородными связями непосредственно или через SO_4^{2-} -группы (схематическое изображение этих связей приведено на рис. 1).

Из структурных данных известно, что расстояние $\text{Cr}-\text{H}_2\text{O}$ составляет 1.96 Å, а расстояние $\text{K}-\text{H}_2\text{O}$ 2.97 Å; длины водородных связей находятся в пределах 2.64—2.87 Å [4, 5].

Кристаллическое поле, действующее на ион Cr^{3+} в квасцах, имеет тригональную симметрию, и величина тригонального искажения может быть оценена путем измерения параметра тонкой структуры D спектров ЭПР. Согласно данным работы [6], дополненным нашими измерениями

в высокотемпературной области (293—350 К), параметр D уменьшается с понижением температуры по закону

$$|D| = (3.43 \pm 0.007) \text{ Гс/К} \cdot T - (380 \pm 9) \text{ Гс}. \quad (1)$$

При $T_c = 158$ К наряду с исходным появляется новый тип спектра, интенсивность которого растет по мере понижения температуры, а именно: удваивается количество магнитно-неэквивалентных центров и параметр тонкой структуры для них изменяет знак и возрастает по величине.

Температурная зависимость времени электронной спин-решеточной релаксации T_1 приведена на рис. 2. Она не является тривиальной и имеет ряд особенностей. Так, при $T = 158$ К наблюдено резкое изменение характера зависимости $T_1(T)$, свидетельствующее о фазовом переходе в данных квасцах. Отметим, что из резонансных и релаксационных данных получено одинаковое значение температуры фазового перехода T_c .

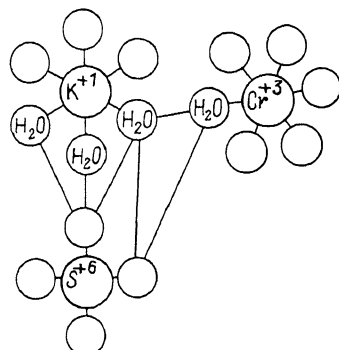


Рис. 1. Схематическое изображение связей отдельных структурных элементов в хромокалиевых квасцах.

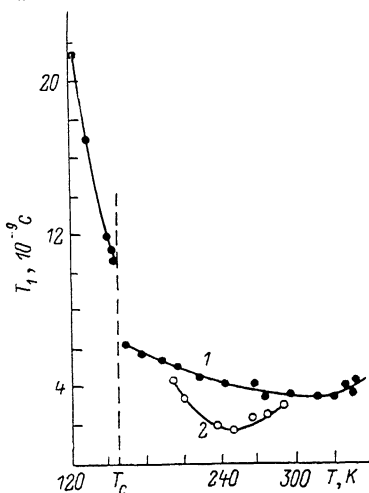


Рис. 2. Температурная зависимость времен электронной спин-решеточной релаксации T_1 для Cr^{3+} в поликристаллическом $\text{KCr}(\text{SO}_4)_2 \cdot 12\text{H}_2\text{O}$ (1) и $\text{Cr}(\text{H}_2\text{O})_6^{3+}$ в воде (2).

Выше температуры фазового перехода T_1 имеют место значения $\sim 10^{-9}$ с, близкие по величине к T_1 для Cr (III) в водных растворах [7], и слабо выраженный минимум в зависимости $T_1(T)$ при $T \approx 323$ К. Для водных растворов Cr^{3+} зависимость $T_1(T)$ имеет аналогичный вид, но с более резко выраженным минимумом. Короткие значения T_1 , а также характер зависимости $T_1(T)$ выше T_c указывают на наличие флюктуационного процесса, связанного с молекулярным движением в кристалле. Ниже T_c зависимость $T_1(T)$ типична для двухфононных процессов, т. е. можно полагать, что при приближении к температуре фазового перехода сверху быстрые флюктуации критически ослабляются и характер зависимости $T_1(T)$ изменяется.

Теории спин-решеточной релаксации и уширения линий (релаксация T_2) достаточно хорошо разработаны для растворов [8], в которых наличие флюктуационных процессов несомненно. Для систем со спином $S > 1/2$ релаксация в основном обвязана, особенно при отсутствии значительной анизотропии g -фактора, модуляции компонент тензора тонкого расщепления вращательным (механизм Мак-Гарви) или поступательным (механизм Бломбергена—Моргана) движением частиц жидкости. Полагая, что флюктуационный процесс описывается одним временем корреляции τ_c и экспоненциальной корреляционной функцией, скорость спин-решеточной релаксации для систем со спином $S=3/2$ может быть выражена следующим уравнением [8, 9]:

$$\langle T_1^{-1} \rangle = \alpha |\delta D|^2 \left(\frac{\tau_c}{1 + \omega_0^2 \tau_c^2} + \frac{4\tau_c}{1 + 4\omega_0^2 \tau_c^2} \right) \approx \alpha' |\delta D|^2 \frac{\tau_c}{1 + 2\omega_0^2 \tau_c^2}. \quad (2)$$

Здесь ω_0 — частота Лармора; $\tau_c = \tau_{c0} \exp(E/RT)$ — время корреляции процесса, связанного с флуктуациями тензора тонкого расщепления D ; E_a — энергия активации флуктуационного процесса; $|\delta D|^2$ — среднеквадратичные флуктуации тензора тонкого расщепления [10]; α , α' — численные константы, причем α' близка к 1. Из условия минимума T_1 (минимум наблюдается при 323 ± 3 К) можно определить $\tau_c = 1.22 \cdot 10^{-11}$ с и оценить $\sqrt{|\delta D|^2} = 390$ Гс. Отметим, что эти значения τ_c и $\sqrt{|\delta D|^2}$ для К-квасцов согласуются с аналогичными величинами для Na-квасцов [11], полученными из анализа ширины линии ЭПР. Учитывая, что при $\omega_0^2 \tau_c^2 > 1$ $T_1 \sim \tau_c$, из наклона прямой $\ln T_1 (1/T)$ определили величину $E_a = 0.5$ ккал/моль и далее рассчитали $\tau_{c0} = 6 \cdot 10^{-12}$ с и температурную зависимость τ_c .

Представленные нами экспериментальные данные однозначно свидетельствуют о наличии флуктуационного процесса в хромокалиевых квасцах при $T > T_c$. Мы полагаем, что одной из причин флуктуаций локального окружения Cr^{3+} являются трансляционные колебания с большими амплитудами молекул воды из окружения калия (механизм, аналогичный механизму Бломбергена—Моргана для растворов [12]). В пользу такого предположения говорят следующие факты. Расстояние $\text{Cr}-\text{H}_2\text{O}$ (1.96 Å) достаточно хорошо согласуется с суммой радиусов Cr^{3+} и H_2O , в то время как расстояние $\text{K}-\text{H}_2\text{O}$ (2.97 Å) на 0.22 Å превышает сумму радиусов K^+ и H_2O . Согласно работам Габуды, Лундина и др. (см., например, [13]), такие нарушения одного из главных законов кристаллохимии способствуют трансляционным колебаниям молекул воды с аномально высокими амплитудами вплоть до их диффузии. Далее кристаллы и, особенно, поликристаллы хромокалиевых квасцов, оставаясь на воздухе, чрезвычайно легко теряют часть кристаллизационной воды. Понижение интенсивности, а затем и исчезновение полосы колебаний воды из окружения K^+ в ИКспектрах квасцов позволяют считать, что теряется именно вода калия. Даже частичная потеря воды приводит к тому, что во всем изученном диапазоне температур время $T_1 \sim 1/T^2$, т. е. фазовый переход и флуктуационный процесс уже не наблюдаются. Как мы увидим позднее, и в температурных ИК спектрах при частичной потере воды не наблюдаются изменения, характерные для нормальных квасцов при фазовом переходе. Кроме того, в водных растворах ион K^+ относится к катионам с отрицательной гидратацией, которые усиливают подвижность молекул воды в растворителе [14]. Подобные эффекты могут наблюдаться и в кристаллогидратах.

Важную роль способен играть и второй источник флуктуаций. Согласно [4], SO_4^{2-} -группа является нестабильной, и эта нестабильность, по мнению авторов, обвязана различным длинам связей атомов кислорода SO_4^{2-} -групп с атомами кислорода молекул воды в окружении ионов K^+ и Cr^{3+} , что в свою очередь приводит к повышенным тепловым колебаниям атомов кислорода SO_4^{2-} -группы.

Для уточнения и выяснения изменений, происходящих в структуре хромокалиевых квасцов в результате фазового перехода, мы провели исследование их ИК спектров в диапазоне температур выше и ниже T_c . Измерения проводились на спектрометре Specord-M80 в области частот 400—3800 см⁻¹ с использованием методики супенсирования образцов в вазелиновом и фторированном маслах. Исследовались как нормальные, так и дейтерозамещенные квасцы; последние были приготовлены перекристаллизацией соответствующих безводных соединений в тяжелой воде. Все полосы поглощения, относящиеся к колебаниям молекул H_2O , при замещении на D_2O испытывали изотопный сдвиг с коэффициентом $k = 1.3 \pm 1.35$.

Температурные ИК спектры поглощения в области частот валентных колебаний SO_4^{2-} -групп (ν_3) и валентных колебаний воды (ν), приведены на рис. 3, а, б. Прежде всего рассмотрим полосы поглощения, связанные

с колебаниями тетраэдрических SO_4^{2-} -групп, характер искащения и пространственная ориентация которых определяют тип квасцов (α , β , γ). Из литературных данных известно [3, 5], что в алюмокалиевых квасцах, относящихся к α -структуре, имеется часть сульфатных групп с противоположной пространственной ориентацией, аналогичной γ -квасцам. В силу того что нормальные и перевернутые (разупорядоченные) сульфатные группы имеют несколько различные длины S—O- и H-связей при одной и той же симметрии (C_{3v}), частоты их колебаний также незначительно различаются. Поэтому в алюмокалиевых квасцах сильные полосы при 1098 и 1112 cm^{-1} отнесены к ν_3 -колебаниям нормальных SO_4^{2-} -групп, а слабые полосы при 1070 и 1210 cm^{-1} — к колебаниям разупорядоченных сульфатных групп [5].

Мы исследовали как K-Al, так и K-Cr квасцы. В последних все наблюдаемые полосы для ν_3 (SO_4) по отношению к K-Al квасцам смешены

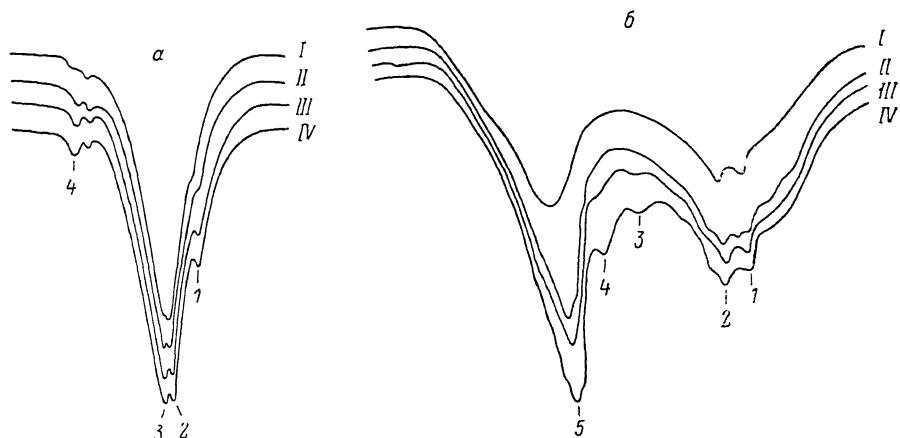


Рис. 3. ИК спектры поглощения хромокалиевых квасцов при различных температурах в области частот 960–1300 (а) и 2500–3800 cm^{-1} (б).

1 — 290, II — 170, III — 150, IV — 120 К. а: 1 — 1062, 2 — 1086, 3 — 1095, 4 — 1196 cm^{-1} ; б: 1 — 2848, 2 — 2912, 3 — 3120, 4 — 3220, 5 — 3350 cm^{-1} .

примерно на 10 cm^{-1} в сторону более низких частот, поэтому к колебаниям разупорядоченных SO_4^{2-} -групп в K-Cr квасцах следует отнести полосы при 1062 и 1196 cm^{-1} . При комнатной температуре эти полосы проявляются в виде слабого плеча, но при понижении температуры, начиная с температуры фазового перехода, их интенсивность относительно других полос заметно растет за счет увеличения количества SO_4^{2-} -групп с противоположной ориентацией (рис. 3, а). Следовательно, при фазовом переходе в хромокалиевых квасцах происходит переориентация сульфатных группировок.

Происходят ли при этом изменения в колебательных спектрах молекул воды?

Исходя из структуры квасцов, полосы поглощения при 3350 и $\sim 2900 \text{ cm}^{-1}$ (последняя распадается на две полосы при 2912 и 2848 cm^{-1}) относятся к валентным колебаниям молекул воды около ионов K^+ и Cr^{3+} соответственно (рис. 3, б). Полоса колебаний кристаллизационной воды Cr^{3+} значительно сдвинута в сторону меньших волновых чисел по сравнению с полосой валентных колебаний свободной воды ($\nu_1 = 3657$, $\nu_2 = 3756$), что обусловлено ковалентным характером взаимодействия между катионом и водой, под влиянием которого меняется структура самой молекулы воды (растягивается OH-связь), и образованием и усилением водородных связей молекул воды с анионами и между собой [15].

В процессе охлаждения при достижении температуры фазового перехода в области валентных колебаний воды появляются две новые полосы 3220 и 3120 cm^{-1} (рис. 3, б), интенсивность которых растет при дальнейшем

понижении температуры. Однако даже при незначительном выветривании квасцов, в результате которого теряется часть кристаллизационной воды из окружения калия, указанные полосы в процессе понижения температуры не возникают. Поскольку из данных по T_1 следует, что в этом случае не происходит и самого фазового перехода, полосы поглощения при 3220 и 3120 см^{-1} , по-видимому, следует отнести к колебаниям части молекул воды калия, которые в результате фазового перехода образуют более прочные связи с сульфогруппой, вероятно, за счет уменьшения амплитуды колебаний SO_4^{2-} -группы. При достижении температуры фазового перехода заметно усиливается неэквивалентность молекул воды как в окружении K^+ , так и Cr^{3+} , выражаясь в появлении дополнительных пиков на кривой поглощения (разнотипные водородные связи). Новый слабый пик поглощения при $T < T_c$ появляется и в области либрационных колебаний молекул воды.

Таким образом, при $T < T_c$ с помощью ИК спектров зафиксировано увеличение количества SO_4^{2-} -групп с различной ориентацией и молекул воды с изменившимися водородными связями. Эти процессы несомненно оказывают влияние и на деформацию $\text{Cr}^{3+}(\text{H}_2\text{O})_6$ октаэдра, приводящую к изменению времен электронной релаксации T_1 и параметра тонкой структуры D .

Особенности поведения времен релаксации и параметра тонкой структуры D выше и ниже T_c , а также уширение линии ЭПР вблизи T_c , наблюдаемое в работе [6], характерны для сегнетоэлектриков [16]. Поэтому можно полагать, что фазовый переход в хромокалиевых квасцах является сегнетоэлектрическим фазовым переходом, для которого характерна динамика релаксационного типа, т. е. с переходом порядок—беспорядок. Наличие этого перехода существенно зависит от количества кристаллизационной воды в квасцах.

В заключение авторы выражают искреннюю благодарность А. А. Столлову за снятие температурных ИК спектров.

Список литературы

- [1] Völkel G., Bartuch U., Brunner W. // Phys. St. Sol. (a). 1974. V. 25. N 2. P. 591—597.
- [2] Волков Б. А., Вишневская Г. П., Горожанин В. А., Рамазанов Р. Г. // Приб. и техн. экспер. 1973. № 4. С. 167—169.
- [3] Larson A. C., Crommer D. T. // Acta Cryst. 1967. V. 22. P. 793—800.
- [4] Bacon G. E., Gardner W. E. // Proc. Roy. Soc. 1958. V. 246. N 1244. P. 78—90.
- [5] Venkatesh G. M., Narayanan P. S. // Indian J. Pure and Appl. Phys. 1971. V. 9. N 1. P. 39—43.
- [6] Owens F. J. // Chem. Phys. Lett. 1977. V. 46. N 2. P. 380—383.
- [7] Вишневская Г. П., Гумеров Ф. М., Филиппов А. И. // ТЭХ. 1981. Т. 17. № 1. С. 72—78.
- [8] Абрагам А. Ядерный магнетизм. М.: ИЛ, 1963. С. 551.
- [9] Carrington A., Luckhurst G. R. // Molec. Phys. 1964. V. 8. N 1. P. 125—132.
- [10] O'Reilly D. E. // Phys. Rev. 1967. V. 157. N 12. P. 417—426.
- [11] Kruczynski Z., Pietrzak J. // Phys. St. Sol. (a). 1982. V. 71. P. K231.
- [12] Bloembergen N., Morgan L. O. // J. Chem. Phys. 1961. V. 34. N 3. P. 842—850.
- [13] Габуда С. П., Лундин А. Т. Внутренняя подвижность в твердом теле. Новосибирск: Наука, 1986. С. 174.
- [14] Самойлов О. Л. Структура водных растворов электролитов и гидратация ионов. М., 1957. С. 180.
- [15] Цундель Г. Гидратация и межмолекулярное взаимодействие. М.: Мир, 1972. С. 404.
- [16] Navalagund R., Gupta L. C. // Ferroelectrics. 1976. V. 14. P. 767—773.

Казанский физико-технический
институт КФ АН СССР
Казань

Поступило в Редакцию
27 января 1989 г.